



LBR-5 : ANALYSE STRUCTURELLE



ANAST Architecture Navale et Analyse des Systèmes de Transport
UNIVERSITE DE LIEGE



LBR5 –Analyse Structurelle

Comment l'analyse structurelle s'effectue-t-elle dans LBR5?

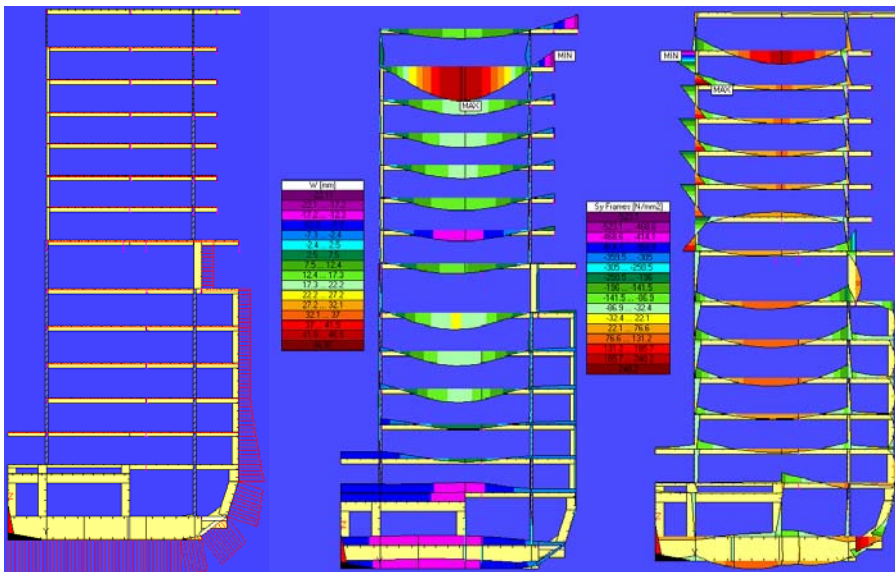


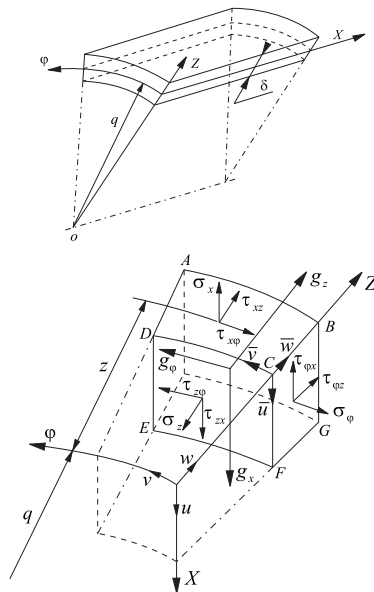
Table des matières

- **Equations différentielles** des coques cylindriques raidies
- Eléments de coques cylindriques (plaques) raidies
- **Solution analytique** pour les équations des panneaux raidis
 - Solution homogène (ou solution complémentaire)
 - **Développement en série de Fourier**
 - **Développement en série de Fourier des charges**
 - Solution homogène des équations différentielles
 - Lignes de charges unitaires de base
 - Panneaux proprement dits
- Conclusions

LBR5 – Equations Différentielles des Coques Raidies Cylindriques

Généralités

- $z = 0$ à mi-épaisseur de plaque
- $y = q \varphi$
avec φ utilisé pour les coques et y pour les plaques
- Eléments de volumes infinitésimaux $[dx, (q+z)d\varphi, dz]$
- Déplacements u, v, w et contraintes σ, τ
- **Hypothèses de Love-Kirchoff**, i.e.
 - Théorie des coques minces ($\delta/q \ll 1$)
 - Petites déformations et analyse linéaire
 - Conservation des sections planes
($\gamma_{xz} = \gamma_{\varphi z} = 0 \Rightarrow \tau_{xz} = \tau_{\varphi z} = 0$)
 - σ_z et les effets associés sont négligeables
 - Pas de déformation selon oz ($\varepsilon_z = 0$)



Relations 'déformation-déplacement' pour les coques

$$\varepsilon_x = u' - zw''$$

$$\varepsilon_\varphi = v^\circ + \frac{w}{q} - zw^{\circ\circ} \quad \text{avec} \quad \frac{\partial f}{\partial x} = f' \quad \text{et} \quad \frac{\partial f}{\partial y} = \frac{1}{q} \frac{\partial f}{\partial \varphi} = f^\circ$$

$$\gamma_{x\varphi} = u^\circ + v' - 2zw^{\circ'}$$

Relations 'contrainte-déplacement' pour les coques

$$\sigma_x = \frac{E}{1-\nu^2} \left[u' + \nu \left(v^\circ + \frac{w}{q} \right) - z (w'' + \nu w^{\circ\circ}) \right]$$

$$\sigma_\varphi = \frac{E}{1-\nu^2} \left[\left(v^\circ + \frac{w}{q} \right) + \nu u' - z (w^{\circ\circ} + \nu w'') \right]$$

$$\tau_{x\varphi} = G(u^\circ + v' - 2zw^{\circ'})$$

avec E = module de Young = $2.1 \cdot 10^5$ MPa pour l'acier

ν = coefficient de Poisson = 0.3 pour l'acier

G = module de cisaillement = $8.1 \cdot 10^4$ MPa pour l'acier

Relations 'résultante-contrainte' pour les coques

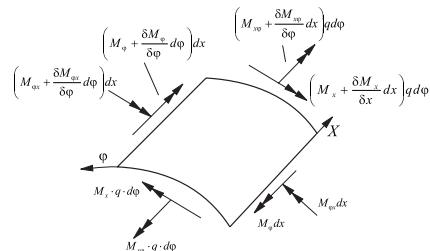
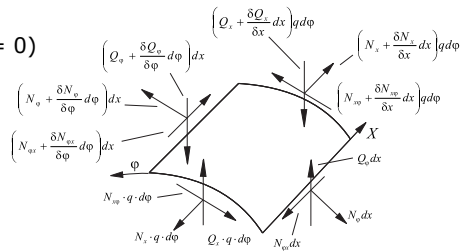
- Elément de volume infinitésimal $[dx, qd\varphi, \delta]$
- Référence = axe neutre de la plaque ($z = 0$)

$$N_\varphi = \int_{-\delta/2}^{+\delta/2} \sigma_\varphi dz \quad N_x = \int_{-\delta/2}^{+\delta/2} \sigma_x \left(1 + \frac{z}{q}\right) dz$$

$$M_\varphi = \int_{-\delta/2}^{+\delta/2} \sigma_\varphi z dz \quad M_x = \int_{-\delta/2}^{+\delta/2} \sigma_x \left(1 + \frac{z}{q}\right) z dz$$

$$N_{\varphi x} = \int_{-\delta/2}^{+\delta/2} \tau_{\varphi x} dz \quad N_{x\varphi} = \int_{-\delta/2}^{+\delta/2} \tau_{x\varphi} \left(1 + \frac{z}{q}\right) dz$$

$$M_{\varphi x} = \int_{-\delta/2}^{+\delta/2} \tau_{\varphi x} z dz \quad M_{x\varphi} = \int_{-\delta/2}^{+\delta/2} \tau_{x\varphi} \left(1 + \frac{z}{q}\right) z dz$$



Relations 'résultante-déplacement' pour les coques

- Relations 'contrainte-déplacement' + relations 'résultante-contrainte'

$$N_\varphi = D \left(v'' + \frac{w}{q} + v u' \right)$$

$$N_x = D \left(u' + v v'' + v \frac{w}{q} \right)$$

$$N_{\varphi x} = N_{x\varphi} = D \frac{1-\nu}{2} (v' + u'')$$

$$M_\varphi = K (w'' + v w'')$$

$$M_x = K (w'' + v w'')$$

$$M_{\varphi x} = M_{x\varphi} = K (1-\nu) w''$$

$$\text{avec } D = \frac{E\delta}{1-\nu^2}$$

$$K = \frac{E\delta^3}{12(1-\nu^2)}$$

Relations 'résultante-contrainte' pour les coques raidies

- Forces résultantes additionnelles provenant des raidisseurs

$$N_\varphi = \int_{-\delta/2}^{+\delta/2} \sigma_\varphi dz + f(x) \int_{\omega_\varphi} \sigma_\varphi \frac{e_\varphi}{d_\varphi} dz$$

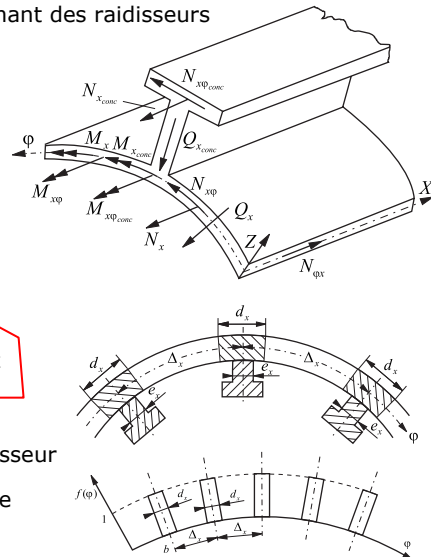
$$N_x = \int_{-\delta/2}^{+\delta/2} \sigma_x \left(1 + \frac{z}{q} \right) dz + f(\varphi) \int_{\omega_x} \sigma_x \frac{e_x}{d_x} dz$$

$$M_\varphi = \int_{-\delta/2}^{+\delta/2} \sigma_\varphi z dz + f(x) \int_{\omega_\varphi} \sigma_\varphi z \frac{e_\varphi}{d_\varphi} dz$$

$$M_x = \int_{-\delta/2}^{+\delta/2} \sigma_x z \left(1 + \frac{z}{q} \right) dz + f(\varphi) \int_{\omega_x} \sigma_x z \frac{e_x}{d_x} dz$$

avec ω_x = section transversale du raidisseur

ω_φ = section transversale du cadre



Relations 'résultante-déplacement' pour les coques raidies

$$N_{\varphi} = D \left(v^{\circ} + \frac{w}{q} + v u' \right) + f(x) \frac{E}{d_{\varphi}} \left[\left(v^{\circ} + \frac{w}{q} \right) \omega_{\varphi} - w^{\circ\circ} h_{\varphi} \right]$$

$$M_{\varphi} = K (w^{\circ\circ} + v w'') + f(x) \frac{E}{d_{\varphi}} \left[\left(v^{\circ} + \frac{w}{q} \right) h_{\varphi} - w^{\circ\circ} I_{\varphi} \right]$$

$$M_{\varphi x} = K (1 - v) w^{\circ\prime} + f(x) \frac{G}{d_{\varphi}} \left[K_{\varphi} w^{\circ\prime} + \lambda_{\varphi} \Omega'_{\varphi} (v' + u^{\circ}) \right]$$

$$N_x = D (u' + v v^{\circ} + v \frac{w}{q}) + f(\varphi) \frac{E}{d_x} (u' \omega_x - w'' h_x)$$

$$M_x = K (w'' + v w^{\circ\circ}) + f(\varphi) \frac{E}{d_x} (u' h_x - w'' I_x)$$

$$M_{x\varphi} = K (1 - v) w^{\circ\prime} + f(\varphi) \frac{G}{d_x} \left[K_x w^{\circ\prime} + \lambda_x \Omega'_x (v' + u^{\circ}) \right]$$

$$N_{\varphi x} = N_{x\varphi} = D \left(\frac{1-v}{2} \right) (v' + u^{\circ}) + f(x) \frac{G}{d_{\varphi}} \Omega'_{\varphi} (v' + u^{\circ}) + f(\varphi) \frac{G}{d_x} \Omega'_x (v' + u^{\circ})$$

Relations 'résultante-déplacement' pour les coques raidies

avec $\omega_x, \omega_{\varphi}$ = ection transversale d'un raidisseur (cadre) sans bordé

h_x, h_{φ} = moment statique de $\omega_x (\omega_{\varphi})$ par rapport à l'axe neutre

I_x, I_{φ} = moment d'inertie de $\omega_x (\omega_{\varphi})$ par rapport à l'axe neutre

K_x, K_{φ} = rigidité torsionnelle d'un raidisseur (cadre)

$\Omega'_x, \Omega'_{\varphi}$ = section réduite des semelles (pour la contribution des semelles au cisaillement dans le plan)

$\lambda_x, \lambda_{\varphi}$ = excentricité de la semelle par rapport au plan moyen du bordé

d_x, d_{φ} = largeur des bandes effectives pour les raidisseurs (cadres)

Note: Dans LBR5, pas de contribution des semelles au cisaillement hors-plan $\Rightarrow \Omega'_x = \Omega'_{\varphi} = 0$

Equations d'équilibre

$$N'_x + N_{\phi x}^0 + X = 0$$

$$N_{\phi}^0 + N'_{x\phi} - \frac{Q_{\phi}}{q} + Y = 0$$

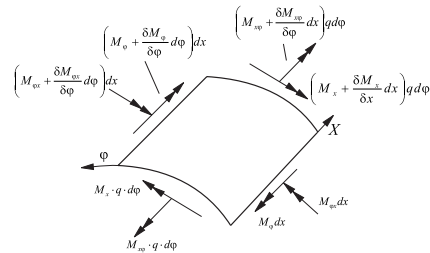
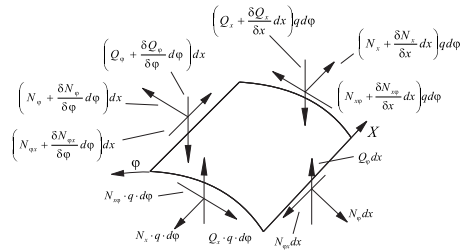
$$\frac{N_{\phi}}{q} + Q_{\phi}^0 + Q'_x - Z = 0$$

$$M_{\phi}^0 + M'_{x\phi} - Q_{\phi} = 0$$

$$M'_x + M_{\phi x}^0 - Q_x = 0$$

$$N_{x\phi} - N_{\phi x} + \frac{M_{\phi x}}{q} = 0$$

avec X, Y, Z = pressions externes

**Equations différentielles des coques raidies cylindriques**13 inconnues

- u, v, w
- $N_x, M_x, Q_x, N_{x\phi}, M_{x\phi}$
- $N_{\phi}, M_{\phi}, Q_{\phi}, N_{\phi x}, M_{\phi x}$

13 équations

- Equations d'équilibre (6-1=5)
- Relations 'résultante-déplacement' pour les coques raidies (8)

⇒ 3 équations différentielles des coques raidies exprimées en termes de u, v, w

Equations différentielles des coques raidies cylindriques

$$D(u'' + v v^{\circ\prime} + \frac{v w'}{q}) + D\left(\frac{1-v}{2}\right)(u^{\circ\circ} + v^{\circ\prime}) + f(\varphi)[\Omega_x u'' - H_x w'''] + X = 0$$

$$D(v^{\circ\circ} + \frac{w^{\circ}}{q} + v u^{\circ\prime}) + D\left(\frac{1-v}{2}\right)(u^{\circ\prime} + v'') + f(x)[\Omega_\varphi(v^{\circ\circ} + w^{\circ}) - H_\varphi w^{\circ\circ\circ}] + Y = 0$$

$$\begin{aligned} \frac{D}{q}(v^{\circ} + \frac{w}{q} + v u') + K w^{\circ\circ\circ\circ} + 2K w^{\circ\circ\prime\prime} + K w^{\prime\prime\prime\prime} + f(x) \left[\frac{\Omega_\varphi}{q}(v^{\circ} + \frac{w}{q}) - H_\varphi(\frac{2w^{\circ\circ}}{q} + v^{\circ\circ\circ}) \right. \\ \left. + R_\varphi w^{\circ\circ\circ\circ} + T_\varphi w^{\circ\circ\prime\prime} \right] \\ + f(\varphi)[-H_x u^{\prime\prime\prime} + R_x w^{\prime\prime\prime\prime} + T_x w^{\circ\circ\prime\prime}] + f'(x)[T_\varphi w^{\circ\circ\prime}] + f'(\varphi)[T_x w^{\circ\prime}] - Z = 0 \end{aligned}$$

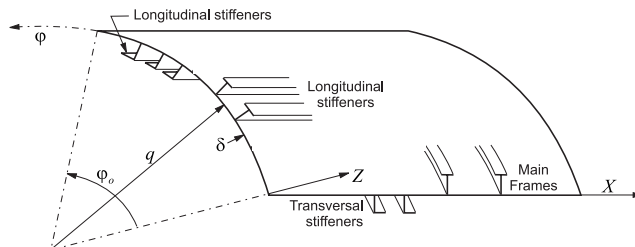
avec $\Omega_\varphi = \frac{E\omega_\varphi}{d_\varphi}$; $\Omega_x = \frac{E\omega_x}{d_x}$; $H_\varphi = \frac{Eh_\varphi}{d_\varphi}$; $H_x = \frac{Eh_x}{d_x}$

coque \rightarrow plaque si $q \rightarrow \infty$

$$R_\varphi = \frac{EI_\varphi}{d_\varphi}$$
; $R_x = \frac{EI_x}{d_x}$; $T_\varphi = \frac{GK_\varphi}{d_\varphi}$; $T_x = \frac{GK_x}{d_x}$

Généralités

- Tôle (δ) + 2 couches de raidisseurs
- Raidisseurs selon ox = raidisseurs longitudinaux
- Raidisseurs selon $o\varphi$ = cadres transversaux
- **Hypothèse : les raidisseurs et cadres d'un même panneau sont identiques et possèdent le même espacement**



Forces et moments résultants de panneaux raidis à 2 couches

$$N_\varphi = (D + \Omega_\varphi) \left(v^\circ + \frac{w}{q} \right) + Dv u' - H_\varphi w^{\circ\circ}$$

$$M_{x\varphi} = [K(1 - \nu) + T_x] w^{\circ\prime}$$

$$N_x = (D + \Omega_x) u' + Dv \left(v^\circ + \frac{w}{q} \right) - H_x w''$$

$$N_{\varphi x} = D \left(\frac{1 - \nu}{2} \right) (v' + u^\circ)$$

$$M_\varphi = (K + R_\varphi) w^{\circ\circ} + K v w'' - H_\varphi \left(\frac{w}{q} + v^\circ \right)$$

$$N_{x\varphi} = N_{\varphi x}$$

$$M_x = (K + R_x) w'' + K v w^{\circ\circ} - H_x u'$$

$$Q_\varphi = (K + T_x) w^{\circ\prime\prime} + (K + R_\varphi) w^{\circ\circ\circ} - H_\varphi \left(\frac{w^\circ}{q} + v^{\circ\circ} \right)$$

$$M_{\varphi x} = [K(1 - \nu) + T_\varphi] w^{\circ\prime}$$

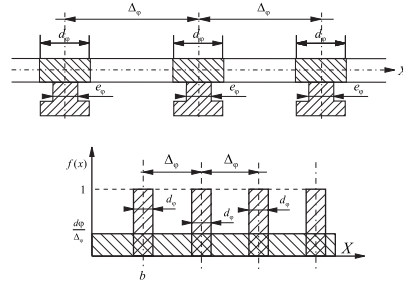
$$Q_x = (K + T_\varphi) w^{\circ\circ\prime} + (K + R_x) w''' - H_x u''$$

avec

$$\Omega_\varphi = \frac{E\omega_\varphi}{\Delta_\varphi}; \quad \Omega_x = \frac{E\omega_x}{\Delta_x}; \quad H_\varphi = \frac{Eh_\varphi}{\Delta_\varphi}; \quad H_x = \frac{Eh_x}{\Delta_x}$$

$$R_\varphi = \frac{EI_\varphi}{\Delta_\varphi}; \quad R_x = \frac{EI_x}{\Delta_x}; \quad T_\varphi = \frac{GK_\varphi}{\Delta_\varphi}; \quad T_x = \frac{GK_x}{\Delta_x}$$

Description précise du comportement global du panneau

**Equations de panneaux raidis à 2 couches (raid et cadres)**

$$(D + \Omega_x) u'' + D \left(\frac{1 - \nu}{2} \right) u^{\circ\circ} + D \left(\frac{1 + \nu}{2} \right) v^{\circ\prime} - H_x w''' + \frac{Dv}{q} w' + X = 0$$

$$(D + \Omega_\varphi) v^{\circ\circ} + D \left(\frac{1 + \nu}{2} \right) u^{\circ\prime} + D \left(\frac{1 - \nu}{2} \right) v' - H_\varphi w^{\circ\circ\circ} + \frac{1}{q} (D + \Omega_\varphi) w^\circ + Y = 0$$

$$-H_x u''' + \frac{Dv}{q} u' + \frac{1}{q} (D + \Omega_\varphi) v^\circ - H_\varphi v^{\circ\circ\circ} + \frac{1}{q^2} (D + \Omega_\varphi) w + (K + R_\varphi) w^{\circ\circ\circ\circ} \\ + (2K + T_\varphi + T_x) w^{\circ\circ\prime\prime} + (K + R_x) w''' - \frac{2H_\varphi}{q} w^{\circ\circ} - Z = 0$$

coque \rightarrow plaque si $q \rightarrow \infty$

Généralités

- 3 équations différentielles couplées à résoudre simultanément

- Système équivalent d'équations :

$$a_1 u + b_1 v + c_1 w = +X(x, \varphi)$$

$$a_2 u + b_2 v + c_2 w = +Y(x, \varphi)$$

$$a_3 u + b_3 v + c_3 w = -Z(x, \varphi)$$

avec $u(x, \varphi), v(x, \varphi), w(x, \varphi)$ = déplacements

x, φ = coordonnées d'un point à mi-épaisseur de la coque cylindrique

$X(x, \varphi), Y(x, \varphi), Z(x, \varphi)$ = charges de surface

a_1, b_1, \dots, c_3 = opérateurs de dérivée

Solution homogène (ou solution complémentaire)

- La solution homogène des équations différentielles donne:

$$\begin{vmatrix} a_1 & b_1 & c_1 \\ a_2 & b_2 & c_2 \\ a_3 & b_3 & c_3 \end{vmatrix} = 0$$

$$\Leftrightarrow a_1 (b_2 c_3 + b_3 c_2) + a_2 (b_3 c_1 - b_1 c_3) + a_3 (b_1 c_2 - b_2 c_1) = 0$$

- Application de cet opérateur au déplacement $w(x, \varphi)$

$$Aw_{80} + Bw_{60} + Cw_{62} + Dw_{40} + Ew_{42} + \dots + Jw_{26} + Kw_{08} = 0$$

Equations différentielles du 8th ordre avec 2 variables couplées x, φ

w_{ij} = dérivée du $i^{\text{ème}}$ ordre de w selon x et du $j^{\text{ème}}$ ordre selon y

Développement en série de Fourier

- Hypothèse sur la forme des déplacements u, v, w

$$u(x, \varphi) = u(\varphi) \sum \cos(\lambda x)$$

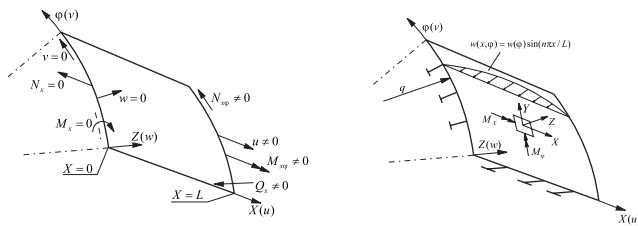
$$v(x, \varphi) = u(\varphi) \sum \sin(\lambda x)$$

$$w(x, \varphi) = w(\varphi) \sum \sin(\lambda x)$$

avec $\lambda = n\pi / L$

n = nombre de termes du développement en série de Fourier

L = envergure de la structure selon ox (même L pour chaque panneau)

**Développement en série de Fourier**

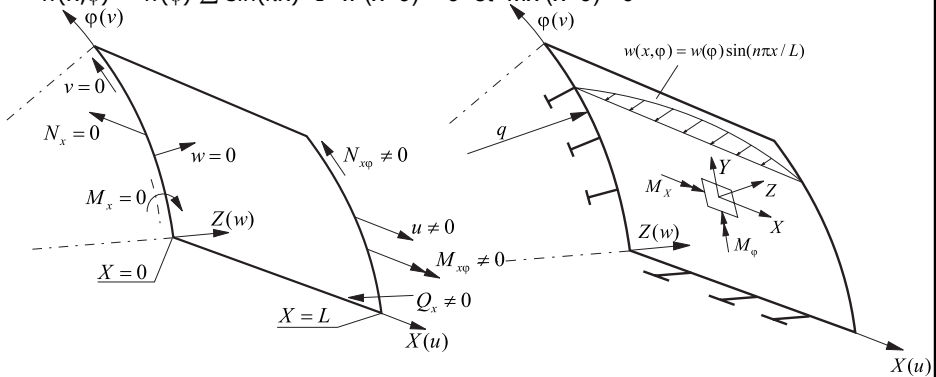
- Limitations concernant les conditions aux limites :

Extrémités ($x = 0, x = L$) \equiv appuis simples

$$u(x, \varphi) = u(\varphi) \sum \cos(\lambda x) \rightarrow u(x=L/2) = 0 \text{ mais } N_x(x=0) = 0$$

$$v(x, \varphi) = u(\varphi) \sum \sin(\lambda x) \rightarrow v(x=0) = 0$$

$$w(x, \varphi) = w(\varphi) \sum \sin(\lambda x) \rightarrow w(x=0) = 0 \text{ et } M_x(x=0) = 0$$



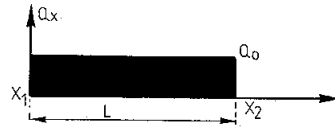
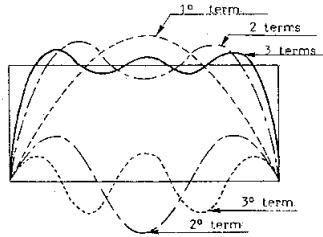
Développement en série de Fourier des charges

- Les charges $Z(x, \varphi)$ doivent pouvoir se décomposer en modes de Fourier

$$Z(x, \varphi) = Z^*(\varphi) Q(x) = Z^*(\varphi) \sum [a \sin(\lambda x)]$$

- Pression hydrostatique = uniformément distribuée selon ox et linéaire selon $o\varphi$

$$\text{Développement selon } ox : Q(x) = \sum_{n=1}^{\infty} \frac{4Q}{(2n-1)\pi} \cdot \sin \frac{(2n-1)\pi x}{L}$$



Solution homogène des équations différentielles

$$w(x, \varphi) = \left[\begin{array}{l} e^{\alpha_i q \varphi} (A_i \cos \beta_i q \varphi + B_i \sin \beta_i q \varphi) \\ + e^{\alpha_i q (\varphi_0 - \varphi)} \cdot (C_i \cos \beta_i q (2\pi - \varphi) \\ + D_i \sin \beta_i q (2\pi - \varphi)) \\ + \dots \end{array} \right] \cdot \sin \lambda x$$

avec A_i, B_i, C_i, D_i = constantes d'intégration

A_i, B_i, C_i, D_i déterminés par les conditions aux limites et de symétrie

Note: équations similaires pour $u(\varphi), v(\varphi)$ dépendant de A_i, B_i, C_i, D_i

$w(\varphi) \rightarrow u(\varphi), v(\varphi) \rightarrow N, M, Q$

Lignes de charge unitaires de base (cylindre complet)

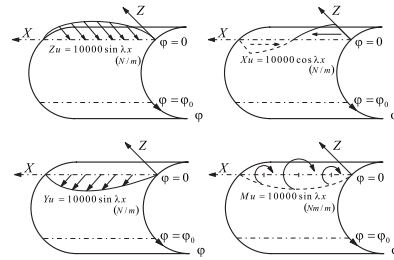
- 4 lignes de charge unitaires de base appliquées en $\varphi = 0$

$$X_u = 10000 \cos(\lambda x) \quad (\text{N/m})$$

$$Y_u = 10000 \sin(\lambda x) \quad (\text{N/m})$$

$$Z_u = 10000 \sin(\lambda x) \quad (\text{N/m})$$

$$M_u = 10000 \sin(\lambda x) \quad (\text{Nm/m})$$



- Pour chaque ligne de charge unitaire, les constantes d'intégration A_i, B_i, C_i, D_i sont obtenues par les conditions aux limites en $\varphi = 0$ and $\varphi = 360^\circ$, et les conditions de symétrie
- Pression latérale → intégration des solutions associées aux cas de charge

Panneaux véritables (véritable angle d'ouverture φ_0)

- 4 lignes de charge unitaires de base appliquées en $\varphi = 0$ et $\varphi = \varphi_0$ (X_u, Y_u, Z_u, M_u)
- Pour chaque panneau, 8 inconnues = facteurs d'amplification des lignes de charge aux extrémités
- Conditions aux limites en $\varphi = 0$ et $\varphi = \varphi_0$
 - Pour une extrémité libre : $M_\varphi = N_\varphi = N_{x\varphi} = R_\varphi = 0$
 - Pour une extrémité encastree : $w = v = u = w^\circ = 0$
 - Pour une extrémité simplement appuyée : $w = u = M_\varphi = N_\varphi = 0$
 - Pour une jonction entre 2 panneaux : 4 équations de compatibilité et 4 équations d'équilibre
 - Pour une jonction entre 3 panneaux : 8 équations de compatibilité et 4 équations d'équilibre
- Système $8N \times 8N$ avec un nombre de N panneaux

Conclusions

- Analyse structurelle de LBR5= méthode analytique
- Résolution d'équations différentielles de panneaux raidis
- Utilisation des développements en série de Fourier
- Analyse élastique linéaire rapide et précise
 - ⇒ adéquat pour de l'optimisation structurelle
- **Limitations**
 - **Analyse de structures prismatiques (cylindriques)**
 - **Analyse globale et pas locale**
 - **Développement en série de Fourier pour les déplacements**
 - ⇒ **Comportement d'une poutre caisson sur deux appuis (indéformable dans leur plan (v,w) mais pas hors de leur plan (u))**